

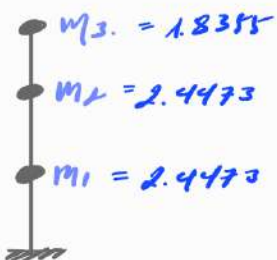
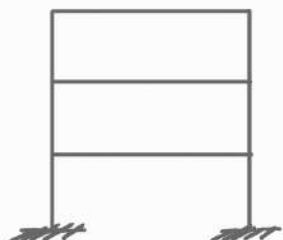
## Método de superposición modal espectral - plano.

### Método modal espectral

El método de superposición modal espectral considera la contribución de la masa de la estructura y la interacción de todos los modos de vibrar para la determinación del cortante basal y posteriormente los resultados de desplazamientos máximos modales y fuerzas Máximas modales.

Este análisis también toma en cuenta los espectros de diseño de cada región sísmica, es decir, se considera la aceleración del suelo y el período asociado a cada uno de los valores de aceleración del terreno.

Este método es aplicable a un análisis sísmico plano y espacial



$$F_v = 0.5 F_g$$

$$I_c = 0.8 F_g$$

$$30 \downarrow \quad \frac{F_g (30)^2}{12} \cdot r$$

$$M = \begin{bmatrix} 2.4473 & 0 & 0 \\ 0 & 2.4473 & 0 \\ 0 & 0 & 1.8355 \end{bmatrix} \frac{\text{tonf} \cdot s^2}{m}$$

$$K = \begin{bmatrix} 14400 & -4800 & 0 \\ -4800 & 7200 & -2400 \\ 0 & -2400 & 2400 \end{bmatrix} \frac{\text{tonf}}{m}$$

```
>> [vectores, valores] = eig(k, m)
```

vectores =

$$\begin{array}{ccc} 0.1286 & -0.2726 & -0.5637 \\ 0.3502 & -0.4457 & 0.2955 \\ 0.5993 & 0.4253 & -0.0689 \end{array}$$

valores =

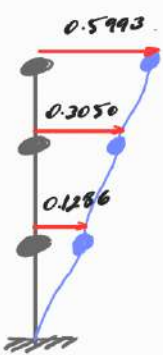
$$\begin{array}{ccc} 1.0e+03 * & & \\ 0.5435 & 0 & 0 \\ 0 & 2.6779 & 0 \\ 0 & 0 & 6.9122 \end{array}$$

Vectores propios normalizados.

$$\phi_1 = \begin{bmatrix} 0.1286 \\ 0.3050 \\ 0.5993 \end{bmatrix}$$

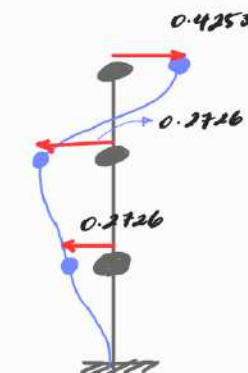
$$\phi_2 = \begin{bmatrix} -0.2726 \\ -0.4457 \\ 0.4253 \end{bmatrix}$$

$$\phi_3 = \begin{bmatrix} -0.5637 \\ 0.2955 \\ -0.0689 \end{bmatrix}$$



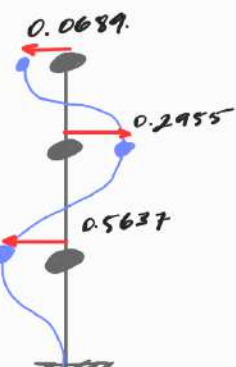
$$T_1 = 0.2695 \text{ seg.}$$

Primer modo



$$T_2 = 0.121 \text{ seg.}$$

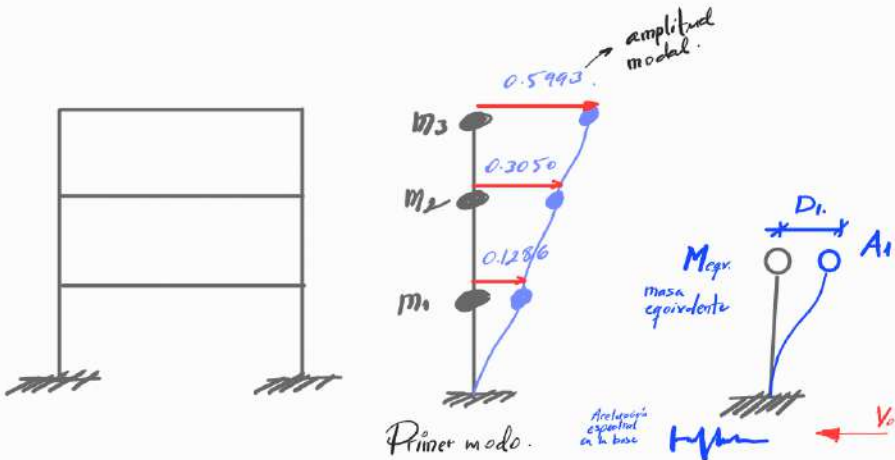
Segundo modo



$$T_3 = 0.076 \text{ seg.}$$

Tercer modo.

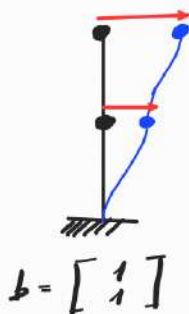
## Sistema equivalente de un grado de libertad.



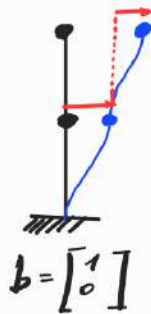
Hipótesis que los dos modelos tienen el mismo periodo.

$b$  para el análisis sísmico plano, es un vector unitario,  $b$  asocia los grados de libertad de la estructura con el movimiento del suelo.

Coordenadas absolutas:



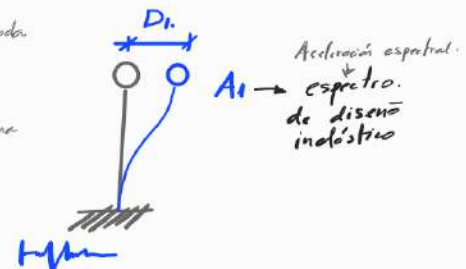
Coordenadas relativas:



la definición de espesivo está relacionada a un sistema de un grado de libertad. Por lo tanto el factor  $\Gamma_1$ , permite pasar la respuesta en desplazamientos de un sistema de un grado de libertad a un sistema de múltiples grados de libertad.

$$\left\{ \begin{array}{l} A_1 = S_a(t) \quad \text{Aceleración espesivo} \\ D_1 = \left( \frac{T_1}{2\pi} \right)^2 \cdot A_1 \quad \text{Desplazamiento espesivo} \end{array} \right.$$

$$\mu_1 = \Gamma_1 \cdot D_1 \cdot \phi_1$$



$$A_1 = S_a(t_1) = 0.149 g.$$

$$D_1 = \left( \frac{T_1}{2\pi} \right)^2 \cdot A_1 \quad g = 980 \frac{\text{cm}}{\text{s}^2}$$

$$D_1 = \left( \frac{0.26930}{2\pi} \right)^2 \cdot 0.149 \cdot g = 0.149 \cdot \frac{980 \text{ cm/s}^2}{g}$$

$$D_1 = 0.2685 \text{ cm.}$$

Factor de Participación modal.

$$\Gamma_1 = \sqrt{\frac{\phi_1^T \cdot M \cdot b}{\phi_1^T \cdot M \cdot \phi_1}}$$

$$\Gamma_1 = \sqrt{\frac{\begin{bmatrix} 0.1286 \\ 0.3050 \\ 0.5993 \end{bmatrix}^T \cdot \begin{bmatrix} 0.4973 & 0 & 0 \\ 0 & 0.4973 & 0 \\ 0 & 0 & 1.8355 \end{bmatrix} \cdot \begin{bmatrix} 1 \\ 1 \\ 1 \end{bmatrix}}{\begin{bmatrix} 0.1286 \\ 0.3050 \\ 0.5993 \end{bmatrix}^T \cdot \begin{bmatrix} 0.4973 & 0 & 0 \\ 0 & 0.4973 & 0 \\ 0 & 0 & 1.8355 \end{bmatrix} \cdot \begin{bmatrix} 0.1286 \\ 0.3050 \\ 0.5993 \end{bmatrix}}}}$$

$$\Gamma_1 = 2.3304$$

Coordenadas absolutas.

cuando trabajamos con espesivo de diseño es un absoluto

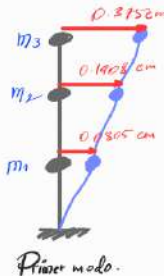
Desplazamientos máximos nodales. (elásticos).

$$\mathbf{u} = \Gamma_1 \cdot D_1 \cdot \phi_1$$

$$\mathbf{u} = 2.3309 \cdot 0.2685 \text{ cm} \cdot \begin{bmatrix} 0.1286 \\ 0.3050 \\ 0.5993 \end{bmatrix}$$

$$\mathbf{u} = \begin{bmatrix} 0.0805 \\ 0.1908 \\ 0.395 \end{bmatrix} \text{ cm.}$$

piso 1.



Masa participativa del modo 1.

$$\text{Hagamos: } \beta_1 = \frac{(\phi_1^T \cdot M \cdot b)^2}{\phi_1^T \cdot M \cdot \phi_1}$$

$$\beta_1 = \frac{\left( \begin{bmatrix} 0.1286 \\ 0.3050 \\ 0.5993 \end{bmatrix}^T \begin{bmatrix} 0.4973 & 0 & 0 \\ 0 & 0.4973 & 0 \\ 0 & 0 & 1.8355 \end{bmatrix} \begin{bmatrix} 1 \\ 1 \\ 1 \end{bmatrix} \right)^2}{\begin{bmatrix} 0.1286 \\ 0.3050 \\ 0.5993 \end{bmatrix}^T \begin{bmatrix} 0.4973 & 0 & 0 \\ 0 & 0.4973 & 0 \\ 0 & 0 & 1.8355 \end{bmatrix} \begin{bmatrix} 0.1286 \\ 0.3050 \\ 0.5993 \end{bmatrix}}$$

$$\beta_1 = 5.0364 \frac{\text{tonf. s}^2}{\text{m.}}$$

$$\frac{\beta_1}{M_1 + M_2 + M_3} = \frac{5.0364 \frac{\text{tonf. s}^2}{\text{m}}}{(0.4973 + 0.4973 + 1.8355) \frac{\text{tonf. s}^2}{\text{m}}} \\ \Rightarrow 74.8362 \%$$

## Desplazamientos máximos modales (elásticos).

$$A = S_a(t)$$

$$D_1 = \left( \frac{T_1}{2\pi} \right)^2 \cdot A$$

$$\mu = \Gamma_1 \cdot D_1 \cdot \phi_1$$

$$f_1 = \Gamma_1 \cdot \left( \frac{T_1}{2\pi} \right)^2 \cdot S_a(t) \cdot \phi_1$$

Adi

libro Análisis Sísmico de Edificios - Dr. Eng. Roberto Aguirre PDF - 183.

$$q_1 = 2.3304 \cdot \left( \frac{0.2695 \text{ seg}}{2\pi} \right)^2 \cdot 0.149g \cdot \frac{9.81 \text{ m/sec}^2}{J} \cdot \begin{bmatrix} 0.1286 \\ 0.3050 \\ 0.5993 \end{bmatrix}$$

$$q_1 = \begin{bmatrix} 0.0805 \\ 0.1908 \\ 0.375 \end{bmatrix} \text{ cm.}$$

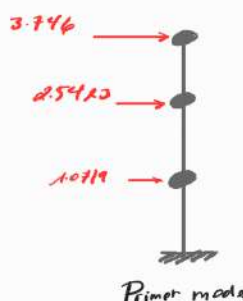
## Fuerzas máximas modales

$$P_1 = \Gamma_1 \cdot S_a(t) \times M \times \phi_1$$

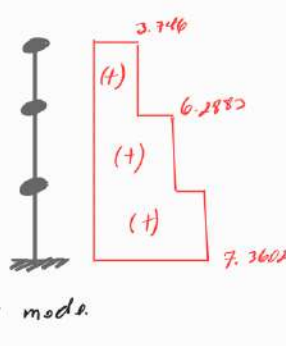
$$P_1 = 2.3304 \times 0.149g \times \frac{9.81 \text{ m/sec}^2}{J} \cdot \begin{bmatrix} 2.4473 & 0 & 0 \\ 0 & 2.4473 & 0 \\ 0 & 0 & 1.8355 \end{bmatrix} \text{ tonf.5}^2 \times \begin{bmatrix} 0.1286 \\ 0.3050 \\ 0.5993 \end{bmatrix}$$

$$P_1 = \begin{bmatrix} 1.0719 \\ 2.5423 \\ 3.746 \end{bmatrix} \text{ tonf.}$$

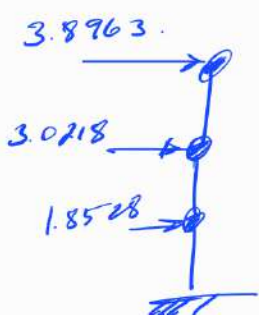
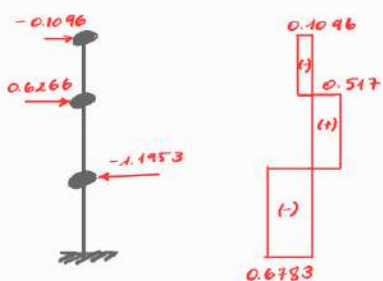
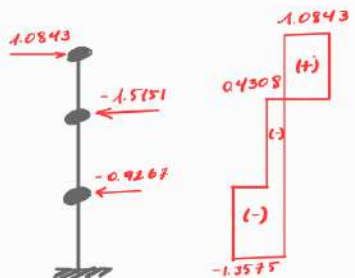
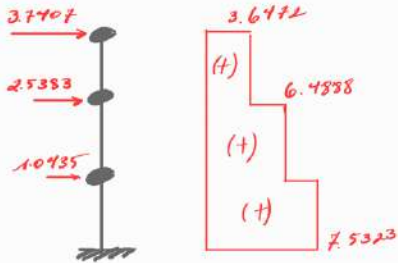
aceleración x masa  
 $\frac{\text{m}}{\text{s}^2} \cdot \frac{\text{tonf.5}^2}{\text{m}} = \text{tonf.}$



Cortante basal V<sub>0</sub>.



Graficas:



SPSS

$$P_1 = \sqrt{(1.0707)^2 + (0.9267)^2 + (1.1953)^2}$$

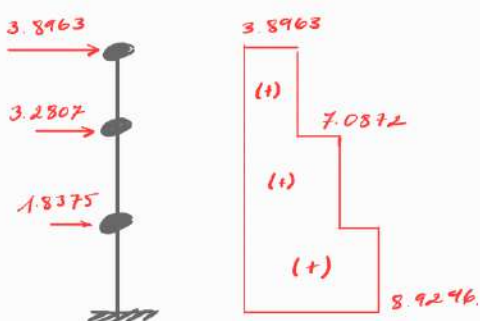
$$P_1 = 1.8528 \text{ tonf}$$

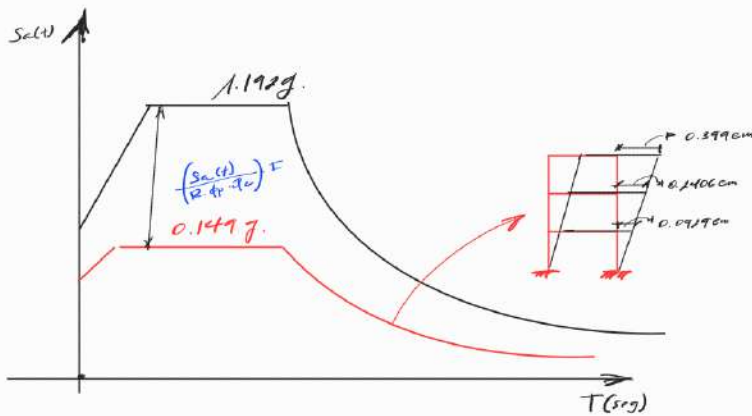
$$P_2 = \sqrt{(2.5383)^2 + (1.5151)^2 + (0.6266)^2}$$

$$P_2 = 3.0218$$

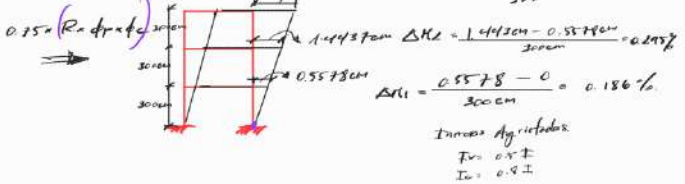
$$P_3 = \sqrt{(3.7407)^2 + (1.0843)^2 + (0.1096)^2}$$

$$P_3 = 3.8963 \text{ tonf}$$





Desplazamientos inelásticos (Reales)



$$\frac{I_w}{I_u} = \frac{0.5}{0.9} = 0.555$$

Límites de la deriva: La deriva máxima inelástica  $\Delta_{di}$  de cada piso debe calcularse mediante:

$$\Delta_{di} = 0.75R_d$$

Dónde:

$\Delta_{di}$  Deriva máxima inelástica

$R_d$  Desplazamiento obtenido en aplicación de las fuerzas laterales de diseño reducidas

$R$  Factor de reducción de resistencia (véase la sección 3.2.4)

$$\Delta H_i = 0.75 \cdot (R_d \cdot d_p \cdot \phi_c) \cdot \Delta e$$

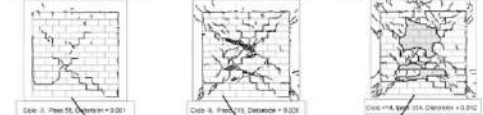
$$\Delta H_i = 0.75 \cdot (8 \cdot 1 \cdot 1) \left( \frac{0.0919 \text{ cm}}{300 \text{ cm}} - 0 \right)$$

$$\Delta H_i = 0.0018$$

$$\Delta H_i = 0.182\% \quad \text{espectro elástico}$$

Desplazamiento obtenido en aplicación de las fuerzas laterales de diseño redimensionadas.

Ancho de grieta = 0.5 mm      Ancho de grieta = 10 mm      Ancho de grieta > 30 mm



$$T = 0.26 \text{ seg} \quad \frac{H}{T} = \frac{7m}{0.26s} = 34.61$$

H/T (m/s)	Tipo de Estructura-Rigidez
<20	Muy flexible
20 - 40	Flexible
40 - 70	Normal
>70	Rígida

H/T (m/s)	Nivel de daño
30 - 40	Daño Estructural Moderado
40 - 50	Daño Estructural Leve
50 - 70	Daño No Estructural
>70	Daño Despreciable

Ing. Morales Guerra A. MSc. MCJ

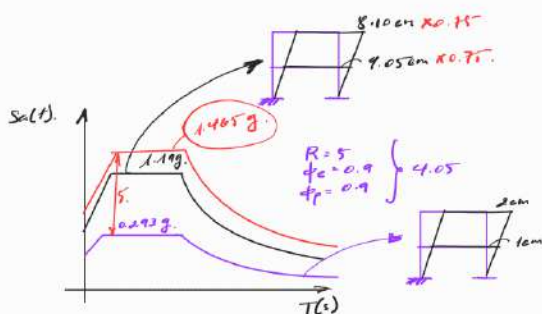
correo: ing.moralesguerra@unizar.com.ar

#### 4.2.2. Límites permisibles de las derivas de los pisos

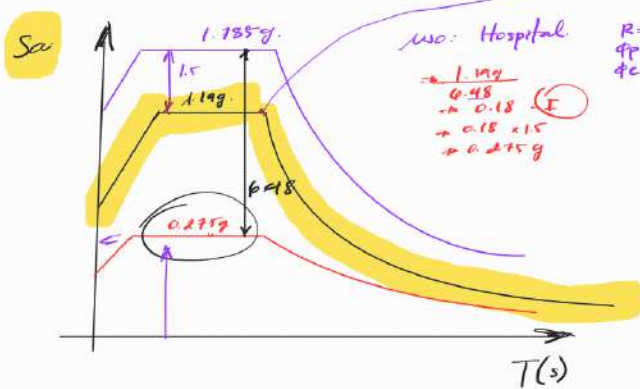
La deriva máxima para cualquier piso no excederá los límites de deriva inelástica establecidos en la tabla siguiente, en la cual la deriva máxima se expresa como un porcentaje de la altura de piso:

Estructuras de:	$\Delta_{di}$ máxima (sin unidad)
Hormigón armado, estructuras metálicas y de madera	0.23
De mampostería	0.01

Tabla 7: Valores de  $\Delta_{di}$  máximos, expresados como fracción de la altura de piso



$$V = \frac{I \cdot S_n}{R \cdot q_p \cdot q_c}$$



$$R = \frac{8}{q_p \cdot q_c}$$

$$V_{nh} = \frac{I \cdot S_n}{R \cdot q_p \cdot q_c}$$

$T(s)$